

ارائه مدل ریاضی جدید به منظور طراحی مسیر سیم نقاله های هوایی برای حمل و نقل مواد معدنی

بابک هووده
دانشجوی کارشناسی ارشد

حسن مدنی
استادیار

دانشکده مهندسی معدن و متالورژی، دانشگاه صنعتی امیرکبیر

چکیده

در این مقاله نتایج تحقیقاتی که درباره شیوه طراحی مسیر سیم نقاله های هوایی معدن انجام گرفته، آمده است. برای این طراحی، دو مدل ریاضی مختلف عرضه شده است که مدل اول تعداد دکل های لازم برای هر مسیر، محل استقرار و ارتفاع آنها را تعیین می کند. مدل دوم نیز تعداد دکل ها و فاصله متوسط دهانه ها را درین دو نقطه حدی مسیر، مشخص می سازد. بلک برنامه کامپیوتری تحت عنوان ROPEX نوشته شد که گلیه محاسبات هربوت به تعیین مشخصات مسیر را انجام می دهد. برای اینکه برنامه ارائه شده در عمل ارزیابی شود، مسیر سیم نقاله دو معدن دره کاشان و انگوران زنجان به کمک آن طراحی شد که نتیجه، در حد جالبی با آنچه که قبلاً به روش های دیگر طراحی شده بود، مطابقت دارد.

A New Mathematical Model for Planning the Aerial Ropeway Routes in Mines

H. Madani
Assistant Professor

B. Hoodeh
M.Sc. Student

Colledge of Mines and Metallurgy Amir kabir
University of Technology

Abstract

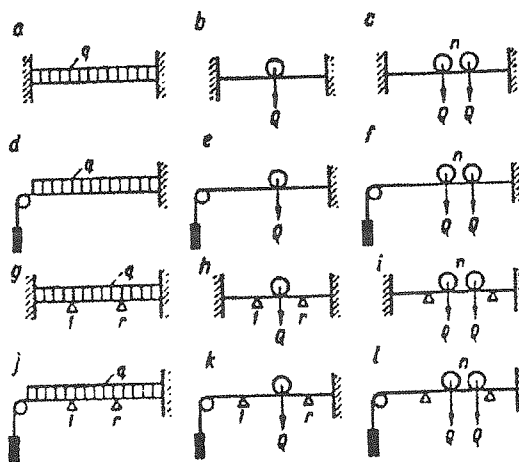
In this paper, the results of the research about the planning of aerial ropeway, is discussed. In order to design the route of the system, two mathematical models are developed. In the first model, the number of trestles, as well as their locations and heights, can be determined. The second model, is able to determine the number of trestles and their span between two successive extreme points. Based on the second model a computer program was written which is able to determine the characteristics of the route.

مقدمه

سیم نقاله های هوایی از جمله قدیمی ترین سیستم های حمل و نقل مواد و افراد است. این سیستم، نوعی سیستم حمل نیمه پیوسته است که در آن مواد مورد نظر، در صندوقه هایی آویخته از کابل، جا به جا می شوند. حرکت صندوقه ها نیز به وسیله کابل انجام می گیرد.

سیم نقاله هوایی از ایستگاه بارگیری، مسیر و ایستگاه تخلیه تشکیل می شود. مسیر سیم نقاله دارای یک خط رفت و یک خط برگشت است که این دو خط با هم موازی اند و کابل های آنها در خلاف جهت هم حرکت می کنند. کابل ها در طول مسیر بر فراز دکل های قرار می گیرند. نیروی رانش صندوقه ها به وسیله موتوری که در یکی از ایستگاه های بارگیری و یا تخلیه مستقر است، تأمین می شود.

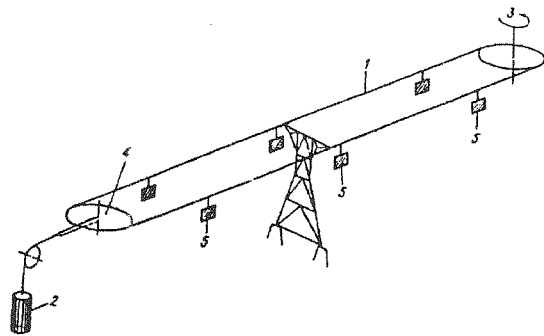
سیم نقاله ها به دو نوع تک کابل و دو کابل تقسیم می شوند. در سیستم تک کابل، در هر خط فقط یک رشته کابل متحرک وجود دارد که هم وزن صندوقه ها را تحمل می کند و هم حرکت آنها را سبب می شود (شکل ۱). در سیستم دو کابل، یک کابل ثابت موسوم به کابل حمال، وزن صندوقه ها را تحمل می کند و کابل دیگری که متحرک است و به صورت یک حلقه بسته به طور مداوم بین ایستگاه های بارگیری و تخلیه رفت و آمد می کند، حرکت صندوقه ها را سبب می شود (شکل ۱).



شکل (۲) الگوهای مختلف تثبیت کابل و سیستم بارگذاری آنها [۱].

آرایش های a, h, g, c, b, I به ندرت و فقط در سیم نقاله های کم ظرفیت با طول کمتر از ۳۰۰ تا ۵۰۰ متر مورد استفاده قرار می گیرند. آرایش های d, e, f برای مناطق کوهستانی که اختلاف ارتفاع ایستگاه ها در آنها زیاد است، به کار می رود. آرایش های j, k و l متدالولترند. آرایش های زو k برای سیم نقاله های رفت و برگشتی و آرایش های زوا برای سیم نقاله های با گردش دائم در نظر گرفته می شوند [۲].

هنگامی که کابل در یک دهانه افقی یا شیبدار معلق می ماند، شکل یک منحنی زنجیر وار را به خود می گیرد. حتی اگر بارهای منفردی در فاصله دهانه، از کابل آویزان باشند، کابل شکل مجموعه ای از منحنی های زنجیروار را به خود می گیرد [۳]. در چنین حالتی برای سادگی محاسبات و افزایش ضریب اطمینان می توان توزیع وزن آنها را به صورت بار گستردگ فرض کرد [۴].



شکل (۱) نمودار ساده سیم نقاله هوایی [۱].

یکی از مسائل مهم طراحی سیم نقاله ها، طراحی مسیر آن است که طی آن باید موقعیت و فاصله پایه ها به گونه ای محاسبه شود که سیستم در تمام حالات، کارآیی لازم را داشته باشد. هدف از این مقاله نیز ارائه مدل ریاضی جدید برای طراحی مسیر است.

$$\tan\alpha = \frac{(4y_c - h)}{s} \quad (2)$$

$$\tan\theta = \frac{(4y_c + h)}{s} \quad (3)$$

کشش کابل در هر یک از دو انتهای آن خواهد شد:

$$T_1 = \frac{t}{\cos\theta} \quad (4)$$

$$T_2 = \frac{t}{\cos\alpha} \quad (5)$$

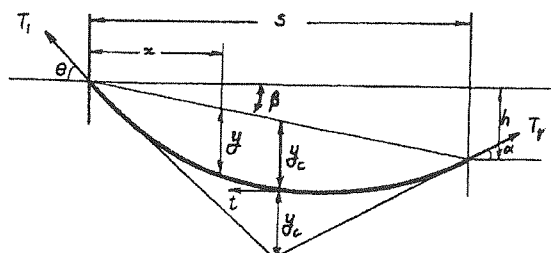
افت کابل در هر نقطه از دهانه به فاصله x از دکل اول براساس رابطه زیر تعیین می شود:

$$y = \frac{wx(s-x)}{2t} \quad (6)$$

و طول کابل برابر خواهد شد با:

$$L = \left[1 + \left(\frac{8y_c^2}{3s^2} \right) \right] \sqrt{s^2 + h^2} \quad (7)$$

لازم به توضیح است که با فرض $h = 0$ ، کلیه روابط یاد شده برای حالت دهانه افقی، ساده خواهند شد [۴].



شکل (۳) دهانه مایل با توزیع بار یکنواخت بر کابل زنجیره وار.

طبق تعریف w ، نیروی کشش T_2 خواهد شد [۶]:

$$T_1 = T_2 + wh \quad (8)$$

۱-۲- دهانه مایل با بار نقطه‌ای

در این حالت هنگامی که بار نقطه‌ای p در وسط دهانه باشد، افت کابل به بیشترین مقدار خود می‌رسد و برابر است با [۴]:

$$y_c = \frac{s(2p + wl)}{8t} \quad (9)$$

عملأً در بیشتر موارد، زمانی که نسبت افت کابل به طول دهانه کم باشد، می‌توان معادله کابل را سه‌می فرض کرد. روابطی که در زیر خواهد آمد، براساس فرضیه‌های یاد شده نتیجه شده‌اند. در ضمن هنگامی که تکیه گاه‌های کابل مهاردار باشند، فرض براین است که هیچ جایه‌ای انجام نمی‌گیرد. اگرچه در صورت بروز جایه‌ای، خطای حاصل از عدم احتساب آن باعث افزایش ضریب اطمینان نتایج محاسبات خواهد شد.

بارباد عامل مهمی است که باید در محاسبات کابل منظور شود. فشار بادی با سرعت 150 کیلومتر در ساعت معادل 10 کیلوگرم بر سانتیمتر مربع بر بزرگترین سطح مقطع طولی کابل در نظر گرفته می‌شود. در فصل یخ‌بندان ممکن است پوشش یخ به ضخامت حداقل 15 میلیمتر بر روی کابل پنشیند که باتوجه به وزن مخصوص 9 گرم بر سانتیمتر مکعبی یخ، باید هم در محاسبه بار یکنواخت کابل و هم بار ناشی از فشار باد به آن توجه داشت. در شکل هایی که این پس در مقاله خواهد آمد، از علایم و تعاریف زیر استفاده خواهد شد:

s = طول افقی دهانه بر حسب متر.

t = طول وتر دهانه که برابر است با $\sqrt{s^2 + h^2}$ بر حسب متر.

y = فاصله قائم کابل تا وتر دهانه بر حسب متر.

w = وزن واحد طول افقی بار گستردۀ یکنواخت وارد بر دهانه، بر حسب کیلوگرم بر متر.

t = مؤلفه افقی کشش کابل بر حسب کیلوگرم.

T = کشش کابل بر حسب کیلوگرم.

L = طول کابل زنجیره وار در حالت آویخته در دهانه بر حسب متر.

θ و α = زوایای برخورد کابل با تکیه گاه‌های دو دکل در دهانه بر حسب درجه.

P = وزن بار نقطه‌ای بر روی کابل بر حسب کیلوگرم.

۱-۱- دهانه مایل با توزیع بار یکنواخت

باتوجه به شکل ۲، افت کابل چه در دهانه افقی و چه دهانه مایل، همواره در وسط دهانه به حداقل مقدار خود می‌رسد و برابر است با [۵]:

$$y_c = \frac{ws^2}{8t} \quad (1)$$

تائزانت زوایای θ و α برابر است با:

مطابق شکل ۴ اگر بار نقطه‌ای p به فاصله افقی m نسبت به دکل اول از کابل آویزان باشد، تانژانت زوایای α و θ خواهد شد:

$$\tan\alpha = \frac{pm}{st} + \frac{wl}{2t} - \frac{h}{s} \quad (10)$$

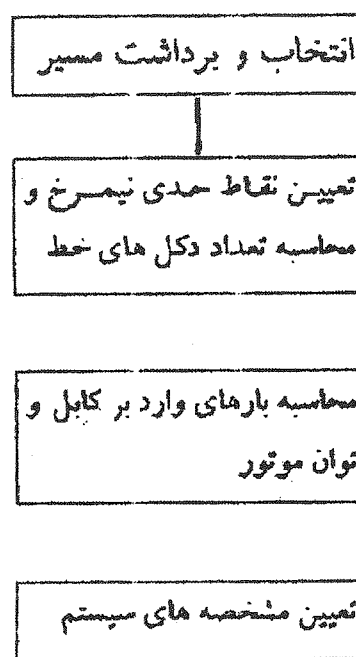
$$\tan\theta = \frac{p(s-m)}{st} + \frac{wl}{2t} + \frac{h}{s} \quad (11)$$

کشش کابل در هر یک از دو انتهای کابل مطابق روابط ۴ و ۵ است.

افت کابل در هر نقطه از دهانه به فاصله افقی x از دکل اول عبارت است از:

$$y = (wlx + 2pm) \frac{(s-x)}{2ts} \quad (12)$$

و طول کابل با استفاده از مقدار y حاصل از رابطه ۹، براساس رابطه ۷ به دست می‌آید [۶].

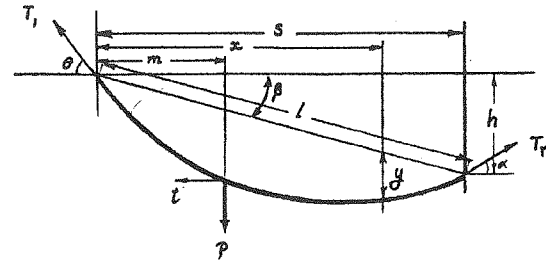


شکل (۵) روند کلی طراحی خط سیم نقاله‌های هوایی.

در طراحی مسیر یک سیم نقاله هوایی باید تعداد و فاصله بین دکل‌ها محاسبه و تعیین شود. تعداد دکل‌ها تابعی از شرایط توپوگرافی مسیر است. هر چه مسیر نامنظم‌تر و ناهموارتر باشد، تعداد دکل‌های لازم زیادتر است.

برای طراحی مسیر روش‌های مختلفی وجود دارد. در گذشته پس از ترسیم نیمرخ زمین روی یک نقشه بزرگ مقیاس، ۱:۱۰۰۰ تا ۱:۵۰۰۰ نقاط حدی^۱ (مینیموم و ماکزیموم) نسبی آن را توسط سنجاق‌هایی علامت گذاری می‌کردند و یک رشته نخ ابریشمی را به دور سنجاق‌ها می‌تابیدند تا موقعیت نخ نسبت به نیمرخ زمین مشخص شود. سپس با افزودن تدریجی تعداد سنجاق‌ها و جایه‌جا کردن آنها در نقاط مناسب سعی می‌کردند که نخ، مسیر ملایمی را در طول خط نیمرخ زمین طی کند. این سنجاق‌ها در واقع در حکم نقطه راس وترها و نخ ابریشمی در حکم وتر کابل سیم نقاله بود. بعد از تثبیت، منحنی کابل بارگذاری شده بر روی همان نیمرخ رسم می‌شد تا با توجه به آن، محل مناسب استقرار دکل‌ها تعیین شود [۶].

روش دیگر، استفاده از منحنی‌های کابل رسم شده بر روی طلق‌های مخصوصی است که شکل منحنی کابل را در وضعیت‌های مختلف نشان می‌دهد. این منحنی‌ها



شکل (۳) دهانه مایل با بار نقطه‌ای وارد بر کابل زنجیره وار.

۲- اصول طراحی مسیر سیم نقاله‌ها

منظور از طراحی یک سیستم سیم نقاله هوایی، محاسبه و تعیین کلیه مشخصه‌های فنی یک خط حمل و نقل سیم نقاله است. این مشخصه‌ها شامل تعداد صندوقه‌ها، تعداد دکل‌ها، فاصله زمانی بین صندوقه‌ها، فاصله طولی بین صندوقه‌ها، بارباد، باریک، نیروهای اصطکاکی مسیر رفت، نیروهای اصطکاکی مسیر برگشت، نیروی کشش کابل، قطر کابل، توان مورد نیاز موتور و نظایر آن است.

روند کلی طراحی یک سیم نقاله هوایی مطابق شکل ۵ است.

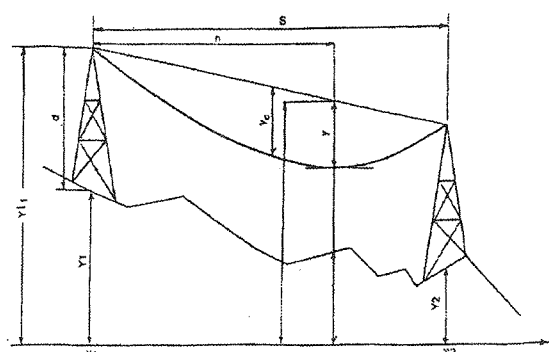
با اعمال فرض اول، مخرج رابطه ۱ در عدد ۱/۵ ضرب می شود و افت کابل در وسط دهانه براساس رابطه زیر به دست می آید:

$$y_c = \frac{ws^2}{8 \times 1.5 \times t} \quad (13)$$

روابط مشابه دیگر نیز به همین صورت تغییر می یابند تا منحنی کابل بر روی نیمرخ رسم شود.

۳- مدل های ریاضی طراحی خط

در این تحقیق، برای تعیین تعداد دکل های خط ، دو مدل مختلف ریاضی پیشنهاد و بررسی شده است. مدل ریاضی اول علاوه بر تعیین تعداد دکل های خط، محل استقرار و ارتفاع دکل را نیز مشخص می کند. مدل ریاضی دوم فقط تعداد دکل ها را برآورد کرده و فاصله متوسط دهانه ها را در بین دو نقطه حدی تعیین می کند. مدل ریاضی دوم پیچیدگی مدل اول را ندارد و در آن با استفاده از مختصات نیمرخ در مقیاس ۱:۲۰۰۰ به سهولت می توان به نتایج لازم برای انجام بررسی فنی و اقتصادی پروژه سیم نقاله هوایی دست یافت، در حالی که مدل ریاضی اول ضمن اینکه نیاز به برداشت نیمرخ با مقیاس بزرگتر دارد، برای طراحی مسیر پس از اتمام مطالعات بررسی فنی و اقتصادی، مناسب تر است. علایم به کار رفته در این مدل ها مطابق شکل ۷ است.



شکل (۷) علایم به کار رفته در مدل های ریاضی

۳-۱- مدل ریاضی اول

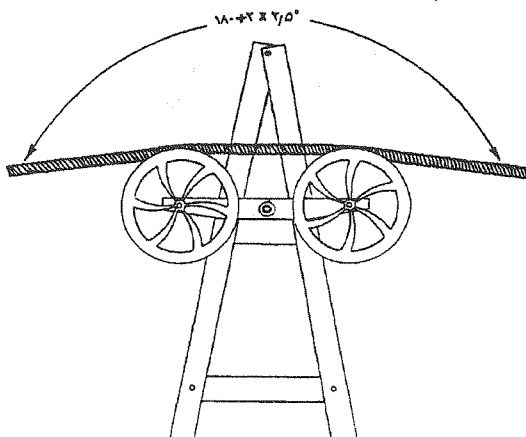
براساس این مدل اگر بخواهیم موقعیت دکل ۱ + آ را روی نیمرخ تعیین کنیم، رأس دکل ۱ + آ باید در زون هاشور خورده شکل ۸ قرار گیرد تا مقدار زاویه α از

که الگو ۲ نامیده می شوند، در مقیاسی برابر با مقیاس نیمرخ مسیر رسم می شوند تا بر روی نیمرخ تطبیق یابند. با تطبیق مرحله به مرحله این منحنی بر خط نیمرخ، محل استقرار دکل ها و مسیر عبور کابل ها تعیین می شود [۷]. این روش به طور عمده در طراحی خطوط انتقال انرژی به کار می رود.

امروزه روش های جدیدی مبتنی بر برنامه های کامپیوترا و وجود دارد که فقط در اختیار طراحان و سازندگان بزرگ سیم نقاله ها است.

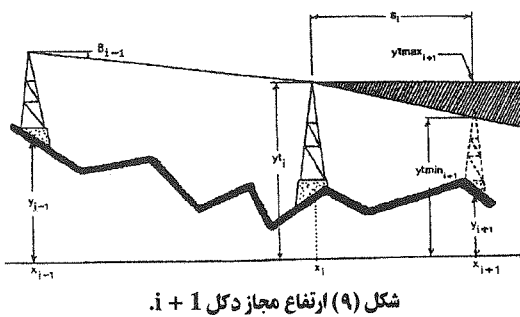
روشی که در اینجا برای طراحی مسیر سیم نقاله هوایی پیشنهاد شده، یک روش عددی بر مبنای محاسبات کامپیوترا است. این روش برای ارزیابی فنی و اقتصادی یک پروژه حمل به وسیله سیم نقاله هوایی بسیار مناسب و سریع است. محاسبات این روش به طور کلی توسط کامپیوترا انجام می شود و نیازی به استفاده از روش های ترسیمی نیست. بدین منظور مختصات نقشه برداری نیمرخ مسیر به صورت x و y به کامپیوترا داده می شود و کامپیوترا تعداد دکل ها و طول دهانه متوسط آنها را در بین دو نقطه حدی نیمرخ با توجه به وضعیت توپوگرافی مسیر، تعیین می کند.

طراحی خط در روش های ترسیمی، بر دو فرض تجربی زیر استوار است: اولاً نقاط رأس دکل ها باید بر روی منحنی سهمی ای قرار بگیرند که کشش کابل آن در عمل ۱/۵ برابر کشش طراحی کابل است. ثانیاً زاویه میل α و ترها (α)، به ازای هر چرخ قرقره دکل نباید از ۲/۵ درجه تجاوز کند [۱ و ۶]. در شکل ۶ فرض دوم، به خوبی مشخص است. در اینجا به خاطر وجود دو چرخ قرقره در رأس دکل، امكان انحراف کابل تا میزان حداقل $2/5 \times 2 = 2\alpha$ درجه مسیر است.



شکل (۶) انحراف کابل تا میزان حداقل $2/5 \times 2$ درجه.

۲/۵ درجه آزادی به ازای هر چه قرقره دکل α تجاوز نکند.



شکل (۹) ارتفاع مجاز دکل $i+1$.

باتوجه به روابط یادشده ارتفاع مجاز دکل $i+1$ باید بین دو مقدار زیر باشد:

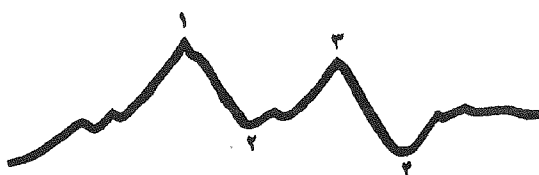
$$d_{max,i+1} = y_{max,i+1} - y_{i+1} \quad (18)$$

$$d_{min,i+1} = y_{min,i+1} - y_{i+1} \quad (19)$$

در این مدل تعیین مقدار s_i در روابط ۱۵ و ۱۶ به طوری که مقدار y حاصل از روابط ۱ و ۹ در حد مجاز باقی بماند، مستلزم دسترسی به یک نیمروز مسیر بزرگ مقیاس است و باید دست کم یک نیمروز به مقیاس ۵۰۰:۱ از مسیر تهیه شود. نتیجه این که مدل اول پیشنهادی برای طراحی خط سیم نقطه هواپی، پس از قطعیت تصمیم در مورد اجرای پروژه مناسب خواهد بود.

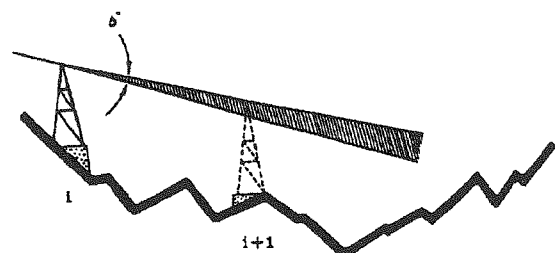
۴-۲- مدل ریاضی دوم

در این مدل نخست نقاط مراکزیم و مینیمم نسبی نیمروز تعیین شده و آنگاه تعداد دکل های بین دو نقطه حدی نسبی مشخص می شود (شکل ۱۰).



شکل (۱۰) نقاط حدی نسبی نیمروز.

در این مدل نقاط حدی مهم و عمدۀ نیمروز تعیین شده و مختصات هر یک از نقاط مشخص می شود. نقطه حدی مهم به نقطه ای اطلاق می شود که تغییرات ارتفاع آن نقطه بر روی نیمروز از حد معینی مثلاً ۵ متر تجاوز کند (بیشتر یا کمتر شود).



شکل (۸) موقعیت صحیح رأس دکل $i+1$ نسبت به دکل i .

بسته به اینکه دکل $i+1$ در چه فاصله ای نسبت به دکل i واقع باشد، یک ارتفاع حداقل d_{min} و یک ارتفاع حداقل d_{max} خواهد داشت. اگر زاویه وتر بین دو دکل i و $i+1$ برابر β باشد، برای اینکه رأس دکل $i+1$ در زون هاشور خورده باقی بماند، باید زاویه وتر بین دو دکل i و $i+1$ برابر مقدار زیر باشد.

$$\beta_i = \beta_{i-1} \pm r k_i \times 2.5^\circ \quad (14)$$

که در آن k_i تعداد چرخ قرقره های دکل i و $i+1$ یک عدد حقیقی بین ۰ و ۱ است. باتوجه به شکل ۹، اگر دکل $i+1$ در فاصله s_i از دکل i روی نیمروز واقع باشد، رأس آن باید در ارتفاع بین $y_{min,i+1}$ و $y_{max,i+1}$ باشد که مقدار آنها از روابط زیر به دست می آید:

$$y_{max,i+1} = y_i + q s_i \tan(\beta_{i-1} - r k_i \times 2.5^\circ) \quad (15)$$

$$y_{min,i+1} = y_i + q s_i \tan(\beta_{i-1} + r k_i \times 2.5^\circ) \quad (16)$$

در روابط یاد شده y_{i+1} ارتفاع رأس دکل $i+1$ نسبت به مختصات محلی نیمروز مربوطه است و q پارامتری است که وضعیت شبیه نیمروز را از لحاظ سرآذیر یا سربالا بودن تعیین می کند و مقدار آن از رابطه زیر تعیین می شود:

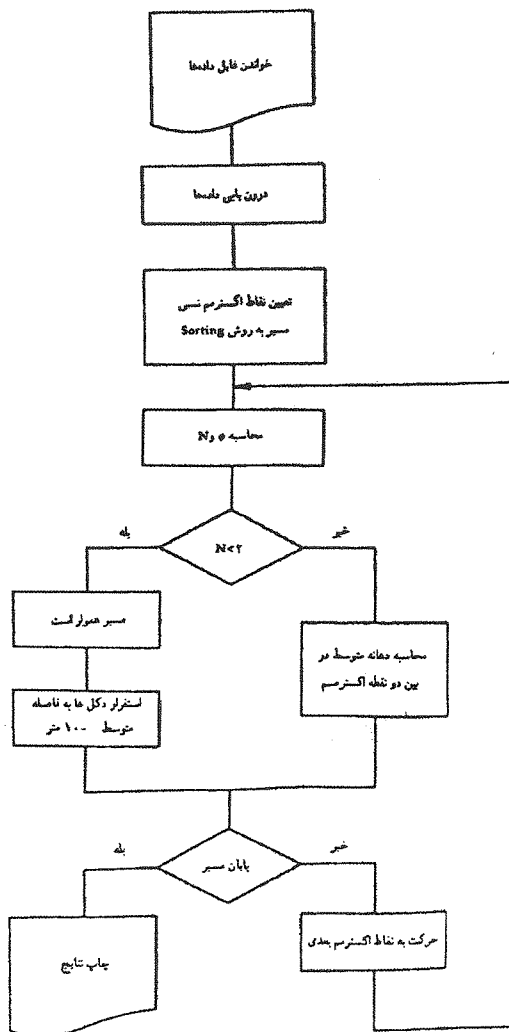
$$q = SGN(y_{i+1} - y_i) \quad (17)$$

در رابطه بالا SGN ،تابع ریاضی علامت ۱ و y_i ارتفاع نقطه i از نیمروز مسیر است.

۴- شرح برنامه کامپیوتری ROPEX

اصول محاسبات برنامه کامپیوتری ROPEX که برای طراحی خط سیم نقاله هوایی نوشته شده، مبتنی بر مدل ریاضی دوم پیشنهادی است. این برنامه پس از خواندن فایل داده‌های برداشت نیمرخ و درون یابی نقاط، ابتدا نقاط حدی نسبی مسیر را شناسایی کرده و در آرایه‌ای ذخیره می‌کند. سپس مطابق آنچه که گفتم، تعداد دکل‌ها و طول دهانه متوسط آنها را در بین دو نقطه حدی نسبی محاسبه کرده و در نهایت، تعداد کل خط، کمترین و طول متوسط دهانه دکل‌ها در کل خط، کمترین و بیشترین طول دهانه در مسیر را تعیین می‌کند.

برنامه ROPEX براساس اطلاعات زیر، مسیر سیم نقاله را طراحی می‌کند:



شكل (۱۲) روند محاسبات برنامه ROPEX برای طراحی خط سیم نقاله هوایی.

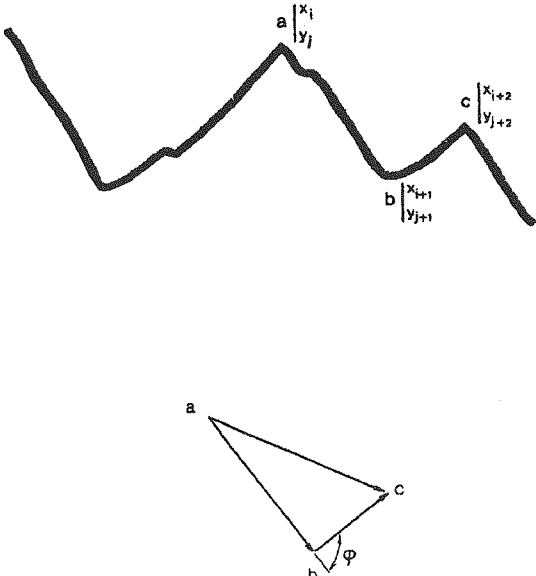
به عنوان مثال شکل ۱۱ را در نظر می‌گیریم و می‌خواهیم تعداد دکل‌ها را در فاصله نقطه a تا c تعیین کنیم. امتداد وتر دکل‌ها در نقطه a در امتداد بردار ab و امتداد وتر دکل‌ها در نقطه c در امتداد بردار bc خواهد بود. پس در فاصله بین نقاط a تا c امتداد خط سیم نقاله هوایی از بردار ab به بردار bc تغییر خواهد کرد. مقدار تغییر امتداد برابر زاویه φ خواهد شد که کسینوس آن از ضرب داخلی دو بردار به صورت زیر حاصل می‌شود:

$$\cos\phi = \frac{\vec{ab} \cdot \vec{bc}}{|\vec{ab}| \cdot |\vec{bc}|} \quad (20)$$

هر دکل در صورتی که فقط یک چرخ قرقره داشته باشد می‌تواند خط را به اندازه حداً کثیر $2/\sqrt{5}$ درجه در صفحه قائم منحرف سازد. پس اگر بخواهیم خط را به اندازه φ در جه تغییر جهت دهیم، نیاز به N دکل خواهیم داشت:

$$N = \frac{\phi}{2.5} \quad (21)$$

فاصله متوسط دکل‌ها در بین دو نقطه حدی از تقسیم فاصله بین دو نقطه حدی بر تعداد دکل‌ها در آن فاصله به دست خواهد آمد.



شكل (۱۱) نقاط حدی نسبی نیمرخ و ارتباط زاویه φ با آنها :

برنامه کامپیوتری ROPEX براساس مدل ریاضی دوم نوشته شده است که شرح آن در زیر خواهد آمد.

کامپیوتري محک زده شود، مسیر سیم نقاله معدن باریت دره کاشان طراحی و با نتایج حاصل از طراحی سیستم توسط یک شرکت اطربیشی مقایسه شد که نتیجه در حد بسیار خوبی با هم مطابقت داشت. همچنان مسیر سیم نقاله معدن انگوران زنجان نیز که در حال حاضر به کار مشغول است، دوباره با این برنامه طراحی شد که در این مورد نیز نتایج با وضعیت موجود مطابقت کامل دارد. البته برای تعیین سایر ویژگی های سیستم سیم نقاله، برنامه های دیگری نیز نوشته شد که امید است طی مقالات جداگانه ای تشریح شود.

زیرنویس ها

- 1 - extreme
- 2 - template
- 3 - deflection angle
- 4 - sign function

- طول کل مسیر.

- بخشی از طول مسیر که قرار است طراحی شود.

- حداکثر و حداقل ارتفاعی که نقاط حدی آن قابل

صرفنظر باشد.

- فایل داده های برداشت مسیر.

روند محاسبات برنامه ROPEX در شکل ۱۲ مشخص است.

جدول (۱)، خروجی برنامه ROPEX در مورد طراحی مسیر سیم نقاله هوایی معدن باریت دره کاشان را نشان می دهد.

۵- نتیجه گیری

براساس تحقیقات انجام شده که شرح آن در این مقاله آمده است، دو مدل ریاضی ارائه و براساس آنها یک برنامه کامپیوتري برای طراحی مسیر سیم نقاله هوایی عرضه شد. برای آنکه کارآیی این مدل ها و برنامه

جدول (۱) خروجی برنامه ROPEX برای طراحی مسیر سیم نقاله هوایی باریت معدن دره کاشان.

NO.	DISTANCE (m)	MAXIMUM (m)	MINIMUM(m)	NO. of TRESTLES	AVG. SPACING
1	0	2120	1670	12	80 m.
2	960			3	90 m.
3	1230	1720	1700	8 sh.s.	8 m.
4	1300			7	11 m.
5	1380	1730	1710	1	60 m.
6	1440			14	71 m.
7	2440	2020	1390	14	98 m.
8	3820			1	100 m.
9	3920	1410	1280	15	100 m.
10	5460			0	0 m.

مراجع

- [1] Schneigert Z. (1968), Aerial Ropeways and Funicular Railways, Pergamon Press, ch. 1-7.
- [2] مدنی حسن، هوده بابک، عبدی پور پروین، قهرمان نژاد بهروز، گزارش مطالعات طرح استفاده از سیم نقاله هوایی در معدن دره کاشان، جلد یک و دو، انتشارات شرکت درین کاشان، ۱۳۷۲.
- [3] Bridon Catalogues (1994), 1280/7.90/4M, 1276/8.92/2m, Doncaster.
- [4] Walker S.C. (1988), Mine Winding and Transport, Elsevier, Ch. 2, 4, 11.
- [5] هوده، بابک (۱۳۷۶)، تحقیقی پیرامون معادلات کابل‌ها در سیم نقاله‌های هوایی، انتشارات شرکت درین کاشان.
- [6] Peele Robert (1941), Mining Engineering's Handbook, Wiley, New York, section 26.
- [7] جاویدی دشت بیاض محمد حسین (۱۳۶۸)، طرح خطوط هوایی انتقال انرژی، انتشارات آستان قدس رضوی، ص. ۱۶۱.